

О двух типах вихреподобных возбуждений в псевдощелевом состоянии недостаточно допированного ВТСП

Г.Г. Сергеева

Национальный научный центр «Харьковский физико-технический институт»
ул. Академическая, 1, г. Харьков, 61108, Украина
E-mail: gsergeeva@kipt.kharkov.ua

Статья поступила в редакцию 19 января 2006 г.

Для U -стрейнов псевдощелевого состояния недостаточно допированных купратных ВТСП обсуждается модель переноса заряда, топологически совместимая с антиферромагнетизмом. Страйповая структура плоскости CuO_2 при $T < T^*(p)$ позволяет предположить, что при допировании ионы Cu^{2+} локализуют дырки, образуя плоские немагнитные «молекулы» $\text{Cu}^{3+}\text{O}_4^{2-}$ с невырожденным A -состоянием иона Cu^{3+} . Показано, что в U -стрейнах вибронные $A \rightarrow E$ переходы ионов Cu^{3+} в вырожденное E -состояние иона Cu^{2+} происходят с выделением энергии Δ_U , что при $T_f(p) \leq T \leq T^*(p)$ приводит к появлению двумерного газа «запинниковых» комплексами $\text{Cu}_{\uparrow}^{2+}\text{O}_4^{2-}$ (или $\text{Cu}_{\downarrow}^{2+}\text{O}_4^{2-}$) вихрей и антивихрей. Понижение температуры $T < T_f(p)$ приводит к переходу U -стрейнов в состояние вихревого двумерного металла с нефермиевскими носителями заряда (подвижными двумерными вихрями и антивихрями), совместимыми с антиферромагнитным порядком плоскости CuO_2 . С развитием двумерных сверхпроводящих флюктуаций при $T_{2D}(p) \leq T \leq T_f(p)$ спаривание вихрей и антивихрей перенормирует константу межплоскостного воздействия и размерный кроссовер $2D \rightarrow 3D$ происходит раньше, чем переход Березинского–Костерлица–Таулесса. При дальнейшем понижении температуры сверхпроводящий переход происходит по сценарию Каца при $T_c > T_{BKT}$ с ограниченным интервалом $3D$ сверхпроводящих флюктуаций. Показано, что двухкомпонентная модель носителей заряда, топологически совместимых с антиферромагнетизмом допированной плоскости CuO_2 , согласуется с наблюдением электрических сигналов при $T_{2D} \leq T \leq T^*(p)$ (Y. Wang et al., *Phys. Rev.* **B64**, 224519 (2001)).

Для U -стрейпів псевдощілинного стану недостатньо допованих купратних ВТНП обговорюється модель носіїв заряду, топологично сумісна з антиферомагнетизмом. Страйпова структура площини CuO_2 при $T < T^*(p)$ дозволяє припустити, що при допуванні іони Cu^{2+} локалізують дірки, які утворюють плоскі немагнітні «молекули» $\text{Cu}^{3+}\text{O}_4^{2-}$ з невиродженим A -станом іона Cu^{3+} . Показано, що в U -стрейпах вибронні $A \rightarrow E$ переходи іонів Cu^{3+} у вироджений E -стан іона Cu^{2+} відбуваються з виділенням енергії Δ_U , що при $T_f(p) \leq T \leq T^*(p)$ приводить до появи двовимірного газу «запінникових» комплексами $\text{Cu}_{\uparrow}^{2+}\text{O}_4^{2-}$ (або $\text{Cu}_{\downarrow}^{2+}\text{O}_4^{2-}$) вихорів та антивихорів. Зниження температури $T < T_f(p)$ приводить до переходу U -стрейпів у стан вихорового двовимірного металу з нефермієвськими носіями заряду (рухливими двовимірними вихорами й антивихорами), сумісними з антиферомагнітним порядком площини CuO_2 . З розвитком двовимірних надпровідних флюктуацій при $T_{2D}(p) \leq T \leq T_f(p)$ спарювання вихорів та антивихорів перенормує константу міжплоскістю взаємодії, і розмірний кросовер $2D \rightarrow 3D$ відбувається раніше, ніж переход Березинського–Костерлица–Таулесса. При подальшому зниженні температури надпровідний переход відбувається за сценарієм Каца при $T_c > T_{BKT}$ з обмеженим інтервалом $3D$ надпровідних флюктуацій. Показано, що двокомпонентна модель носіїв заряду, топологично сумісних з антиферомагнетизмом допованої площини CuO_2 , погодиться зі спостереженням електрических сигналів при $T_{2D} \leq T \leq T^*(p)$ (Y. Wang et al., *Phys. Rev.* **B64**, 224519 (2001)).

PACS: 74.72.-h, 74.80-g

Ключевые слова: страйповая структура, вихревое состояние, сверхпроводящие флюктуации.

1. Введение

Предположение о том, что сверхпроводящий переход в недостаточно допированных (НД) купратных квазидвумерных ВТСП может быть связан с переходом Березинского – Костерлица – Таулесса (БКТ) [1,2] в двумерных системах, т.е. с образованием пар вихрь – антивихрь в медь-кислородной плоскости, обсуждалось сразу же после открытия ВТСП [3–6] и продолжает оставаться одной из гипотез механизма сверхпроводимости в них (см., например, обзоры [7,8]). Известно, что параметром квазидвумерности НД купратных ВТСП может быть отношение проводимости ρ_c^{-1} вдоль оси c к проводимости ρ_{ab}^{-1} в ab -плоскости – величина $\sim 10^{-5}$ [3]. Критерий перехода трехмерного ($3D$) анизотропного металла к квазидвумерному определяется параметром Мотта – Иоффе – Регеля $\rho_M \sim 10^{-2}$ Ом · см (см. ссылки в [9]): при $\rho_c \geq \rho_M^2 / \rho_{ab}$ металл уже нельзя считать трехмерным и сверхпроводящий переход в нем происходит по сценарию Каца [10] как квазидвумерный (квази- $2D$) с ограниченным интервалом трехмерных сверхпроводящих флуктуаций. Величину температуры БКТ перехода T_{BKT} позволяют определить измерения температурной зависимости соотивления $\rho_c(T)$ в квази- $2D$ монокристаллах Bi2212 [9]. Учет $2D$ сверхпроводящих флуктуаций существенно перенормирует вероятность туннелирования заряда вдоль оси c , так что размерный кроссовер к трехмерным ($3D$) сверхпроводящим флуктуациям происходит раньше, чем БКТ переход, при $T_{3D} > T_{BKT}$, и $T_{BKT} \sim 0,7 T_c$. Наблюдаемая при измерениях скорости релаксации мюонов при $T_g > T > T_{BKT}$ универсальная зависимость $T_c = k\lambda^{-2}(0)$ (Uemura plot, T_g – температура перехода в $3D$ -состояние кластерного спинового стекла) является следствием общих закономерностей сверхпроводящего состояния двумерных систем (см., например, [11–13]).

Несмотря на более чем тридцать лет исследований, сверхпроводимость в двумерных системах до сих пор вызывает большой интерес, в особенности при изучении воздействия перпендикулярно направленного магнитного поля на сильно неупорядоченные сверхпроводящие пленки [14,15], а также при исследовании псевдощелевого состояния НД купратных квазидвумерных ВТСП [16,17]. В таких пленках, как InO, MoGe, при воздействии перпендикулярно направленного магнитного поля наблюдается странное металлическое состояние, которое получило название «вихревой металл» (см. ссылки в [15]). В НД купратных квазидвумерных ВТСП остаются без ответа вопросы о природе псевдощелевого состояния с нефермиевскими носителями заряда, о природе и статистике вихревоподобных возбуж-

дений в CuO₂-плоскости при $T_c < T < T^*(p)$ [16,17]. Фотоэмиссионная спектроскопия (ARPES) показала, что и псевдощель, и сверхпроводящая щель открываются вблизи одной и той же области поверхности Ферми ($\pi, 0$), что дисперсия подвижных носителей заряда в квази- $2D$ непроводящих антиферромагнетиках (АФ) (см. обзор [18], рис. 18) сильно перенормируется магнитными взаимодействиями в CuO₂-плоскости. Интересно отметить, что расчеты Лафлина дисперсии $2D$ -спинонов (элементарных возбуждений с зарядом равным нулю и спином $\pm \hbar c / 2e$, см. ссылки в [18]) очень хорошо соглашаются с результатами ARPES измерений.

Для изучения природы псевдощелевого (PG) состояния и динамики квазичастиц в различных областях зоны Бриллюэна монокристаллов HgBa₂CuO_{4+δ} недавно было использовано электронное рамановское рассеяние [19] со специальной системой поляризации и с таким выбором конфигураций падающего и рассеянного электрических полей, которые позволяли проводить исследования нодальных (вдоль направления $(0,0) - (\pi, \pi)$) и антинодальных (вдоль направления $(0,0) - (\pi, 0)$) квазичастиц в различных областях поверхности Ферми в нормальном и в сверхпроводящем состояниях. При переходе в PG состояние $T \leq T^*(p)$ в спектре с B_{1g} -симметрией наблюдалось подавление антинодального отклика в направлении $(0,0) - (\pi, 0)$, что свидетельствует о разрушении поверхности Ферми в этом направлении. Как отмечают авторы работы [19], отношение рамановского отклика в сверхпроводящем и нормальном состояниях (см. рис. 3 в [19]) «удивительно подобно эволюции энергии конденсации и сверхтекущей плотности вдоль оси c в различных купратах» [20,21]. Эти результаты подтверждают важную роль размерных эффектов при изменении температуры как в PG, так и в сверхпроводящем состоянии НД купратного сверхпроводника и позволяют в настоящей работе вернуться к сценарию Каца [10] квази- $2D$ сверхпроводящего перехода с большим температурным интервалом двумерных сверхпроводящих флуктуаций при $T_{3D} < T < T_{2D}$ [9].

К нерешенным вопросам для НД купратного сверхпроводника относится и вопрос о носителях заряда в CuO₂-плоскости: во-первых, они нефермиевские, во-вторых, остается невыясненным их генезис – кислородные они или медные. Несмотря на то что экспериментальные свидетельства содержания в функции локализованной дырки $\approx 90\%$ d -вклада и $\approx 10\%$ p -вклада, а в функции делокализованного носителя заряда – уже $\approx 80\%$ p -вклада, были известны в 1989 году [22–23], только недавно $d + ip$ смешанная симметрия дырок в PG состоянии НД купратов была убедительно подтверждена

экспериментально [24]. Следует отметить, что с учетом эффекта Яна—Теллера (ЯТ) движение ядер приводит к зависимости электронной волновой функции от координат ядер кислорода и вызывает перемешивание электронных состояний, в результате которого в адиабатическом приближении собственной функцией электрон-ядерного гамильтонiana является вибронная волновая функция*. Из развитой Вармой [25,26] теории локальных замкнутых токов следует, что даже локализованная дырка ян-теллеровского двухвалентного иона меди принадлежит медь-кислородному комплексу $\text{Cu}^{2+}\text{O}_4^{2-}$.

Известные результаты оптических исследований В.В. Еременко и С.В. Новикова [27] свидетельствуют о том, что в АФ носитель заряда может передвигаться только по своей магнитной подрешетке. Это позволяет предположить, что в антиферромагнитном (АФМ) металле носители заряда должны быть двух типов, каждый из которых движется по своей магнитной подрешетке комплексов $\text{Cu}_{\uparrow}^{2+}\text{O}_4^{2-}$ или $\text{Cu}_{\downarrow}^{2+}\text{O}_4^{2-}$ с расщепленной на две энергетической зоной [28,29]. В.М. Локтев [29] показал, что закон сохранения спина накладывает такие ограничения на движение носителя, которые не позволяют ему покинуть магнитную подрешетку, в которой он «родился». Недавние исследования [30] электронного парамагнитного резонанса (ЭПР) слабо допированных АФ $\text{La}_{2-x}\text{Sr}_x\text{CuO}_4$ ($0,01 < x < 0,06$) убедительно свидетельствуют о существовании в них металлических областей и двух типов квазичастиц, при этом интенсивность наблюдаемых ЭПР сигналов увеличивается экспоненциально с понижением температуры ниже 150 К.

При температуре $T < T^*(p)$ как в псевдощелевом, так и в сверхпроводящем состоянии в медь-кислородной плоскости образуется страйповая структура с U -страйпами с неискаженной низкотемпературной орторомбической (LTO) структурой, близкой к октаэдральной, и с D -страйпами с искаженной низкотемпературной тетрагональной (LTT) структурой. Известно, что в октаэдральном окружении дважды вырожденное E -состояние иона Cu^{2+} имеет минимальную энергию, а в тетрагональном — минимальную энергию имеет ион Cu^{3+} в невырожденном A -состоянии (см. [31] и ссылки в обзоре [32]). Именно образование D -страйпов позволяет в настоящей работе предположить, что при $T < T^*(p)$ допирование приводит к тому, что двухвалентные ионы меди захватывают дырки, образуя при пони-

жении температуры плоские немагнитные «молекулы» $\text{Cu}^{3+}\text{O}_4^{2-}$ с невырожденным A -состоянием иона Cu^{3+} . Эти «молекулы», так же как и другие d^8 -плоские квадратные комплексы**, имеют тенденцию к искажению медь-кислородной плоскости. Наблюдение страйповой структуры медь-кислородных плоскостей в НД купратных сверхпроводниках при $T \leq T^*(p)$ как в псевдощелевом, так и в сверхпроводящем состоянии (например, в спектрах оптического поглощения [33,34]) свидетельствует о существовании «молекул» $\text{Cu}^{3+}\text{O}_4^{2-}$.

Таким образом, в псевдощелевом состоянии энергия иона меди существенно зависит от того, в каком страйпе он находится. В U -страйпах энергия ε_U^U ян-теллеровского дважды вырожденного E -состояния иона Cu^{2+} меньше, чем энергия ε_A^U невырожденного A -состояния иона Cu^{3+} , а в D -страйпах — наоборот. В разд. 2 проведен учет того обстоятельства, что в медь-кислородной плоскости в U -страйпах для перехода $E \rightarrow A$ иона Cu^{2+} из дважды вырожденного E -состояния в невырожденное A -состояние иона Cu^{3+} необходима энергия возбуждения Δ_U , а обратный $A \rightarrow E$ переход происходит с выделением энергии Δ_U . В D -страйпах наоборот: энергия возбуждения Δ_D необходима для $A \rightarrow E$ перехода, а $E \rightarrow A$ переход происходит с выделением энергии Δ_D .

Учет воздействия магнитного поля спинов четырех ближайших двухвалентных ионов меди на локализованную дырку иона меди в U -страйпах медь-кислородной плоскости напоминает проблему Абрикосова — Гофстадтера [35–37] для делокализованного носителя заряда в магнитном поле в сверхпроводниках второго рода. Для локализованной дырки двухвалентного иона меди (например, $\text{Cu}_{\uparrow}^{2+}$), как показал Варма в работах [25,26], воздействие магнитного поля спинов четырех ближайших ионов $\text{Cu}_{\downarrow}^{2+}$ приводит к появлению квантованных локальных замкнутых токов в квадрантах комплекса $\text{Cu}_{\uparrow}^{2+}\text{O}_4^{2-}$. В разд. 3 рассмотрены два типа магнитных кластеров с «примесным» немагнитным ионом Cu^{3+} , окруженным четырьмя медь-кислородными комплексами $\text{Cu}_{\downarrow}^{2+}\text{O}_4^{2-}$ (первый тип магнитного кластера) или $\text{Cu}_{\uparrow}^{2+}\text{O}_4^{2-}$ (второй тип). В U -страйпах учет воздействия магнитного поля спинов четырех двухвалентных ионов меди магнитного кластера на локализованную d -дырку «примесного» немагнитного иона Cu^{3+} проведен в обобщенной модели локальных замкнутых токов Вармы [25,26].

* Это комбинированная электрон-колебательная волновая функция состояний с динамическим вибронным вырождением, к которому приводит вырождение электронных уровней.

** Данные о таких комплексах приведены в ссылке [179] обзора [32].

Это приводит к вибронному переходу иона меди Cu^{3+} в дважды вырожденное состояние $\text{Cu}^{3+}\text{O}_4^{2-} \rightarrow \text{Cu}^{2+}\text{O}_4^{2-} + v$. При этом переходе d -дырка иона Cu^{3+} переходит в квазилокальное состояние, образуя на магнитном комплексе $\text{Cu}^{2+}\text{O}_4^{2-}$ круговой ток v , магнитный момент которого компенсирует спин иона Cu^{2+} , т.е. закрепленное на комплексе $\text{Cu}^{2+}\text{O}_4^{2-}$ вихреводобное возбуждение (вихрь v_\downarrow на $\text{Cu}^{2+}\text{O}_4^{2-}$ или антивихрь v_\uparrow на $\text{Cu}^{2+}\text{O}_4^{2-}$).

Понижение температуры $T < T_f(p)$ приводит к переходам вихреводобных возбуждений, что создает в каждой магнитной подрешетке U -страйпа динамический эффект переноса заряда с АФМ флюктуациями. Это позволяет назвать $T_f(p)$ температурой перехода U -страйпов меди-кислородной плоскости в состояние двумерного вихревого металла* с двумя подвижными вихревыми жидкостями, каждая из которых при $T < T_f(p)$ движется по своей магнитной подрешетке. Так, при уходе вихря с немагнитного комплекса $\text{Cu}^{2+}\text{O}_4^{2-} + v$ происходит локальное восстановление АФМ порядка, а при переходе вихря v_\uparrow на магнитный комплекс $\text{Cu}^{2+}\text{O}_4^{2-}$ (или антивихря v_\downarrow на комплекс $\text{Cu}^{2+}\text{O}_4^{2-}$) эти комплексы становятся немагнитными и происходит локальное нарушение АФМ порядка.

В разд. 4 обсуждается модель псевдощелевого состояния как квазидвумерного состояния с вихреводобными возбуждениями в U -страйпах: при $T_f(p) < T < T^*(p)$ это закрепленные на магнитных комплексах $\text{Cu}^{2+}\text{O}_4^{2-}$ вихреводобные возбуждения, магнитный момент которых компенсирует спин двухвалентного иона меди; при $T \leq T_f(p)$ в U -страйпах происходит переход в состояние вихревого металла с нефермиевскими носителями заряда — квази- $2D$ подвижными вихрями и антивихрями, движение которых сопровождается локальными флюктуациями АФМ и сверхпроводящего порядка.

На диаграмме состояний (рис. 1) область существования $2D$ вихревого металла в U -страйпах ограничена слева линией $T_f(p)$ перехода от двумерного «газа» запиннингованных вихрей (и антивихрей) к двум подвижным вихревым $2D$ -«жидкостям», справа — зависимостью $T^*(p)$ и линией $T_{2D}(p)$ двумерных сверхпроводящих флюктуаций с образованием пар вихрь-антивихрь в U -страйпах, а при низких температурах — переходом в трехмерное состояние кластерного спинового стекла при $T < T_g(p)$ (при слабом допировании $p < p_{\text{cr}}$, где $T_g(p_{\text{cr}}) = 0$).

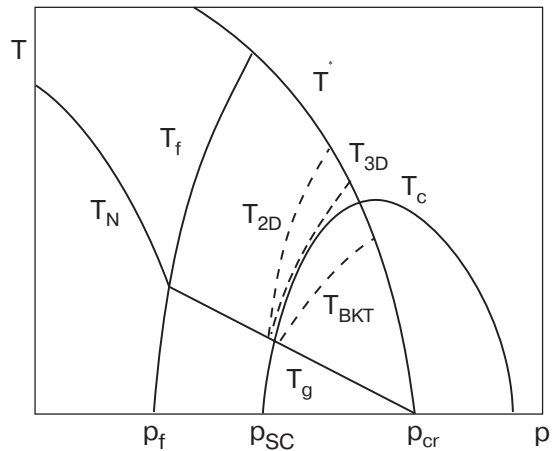


Рис. 1. Модель фазовой диаграммы состояний недостаточно допированного купратного антиферромагнетика на плоскости температура — концентрация допирования (p): T_N — температура Нееля; T_f — температура перехода допированного антиферромагнетика в состояние двумерного вихревого металла при $T \leq T_f$; T^* — температура перехода в псевдощелевое состояние; T_{2D} — температура образования двумерных локальных пар вихрь-антивихрь при $T \leq T_{2D}$; T_{3D} — температура развития трехмерных сверхпроводящих флюктуаций; T_c — температура сверхпроводящего перехода; T_{BKT} — температура БКТ перехода в квазидвумерное сверхпроводящее состояние при $T \leq T_{BKT}$; T_g — температура перехода в состояние кластерного спинового стекла при $T \leq T_g$.

В заключение (разд. 5) проводится сравнение модели диаграммы состояний на рис. 1 с фазовой диаграммой для псевдощелевого состояния монокристаллов $\text{La}_{2-x}\text{Sr}_x\text{CuO}_4$, $0,03 \leq x \leq 0,25$ (рис. 2), полученной в работах [38–40] при изучении диффузии вихреводобных возбуждений под воздействием теплового градиента ∇T и магнитного поля [39]. В нулевом магнитном поле анализ детектируемого в [39] электрического поля позволяет сделать вывод о существовании двух типов носителей заряда: диффузия вихрей приводит к току в направлении ∇T , а антивихрей — в противоположном ∇T направлении. Одновременное воздействие теплового градиента и сильного магнитного поля позволило на диаграмме состояний определить температурные границы области двумерных сверхпроводящих флюктуаций как области, в которой при $T > T_c$ наблюдается вихревой эффект Нернста.

* Впервые модель двумерного вихревого металла рассматривалась в работах Л.Б. Иоффе и А.И. Ларкина (*Phys. Rev. B* **39**, 8988 (1987)) и М.В. Фейгельмана (*Письма ЖЭТФ* **52**, 1141 (1990)).

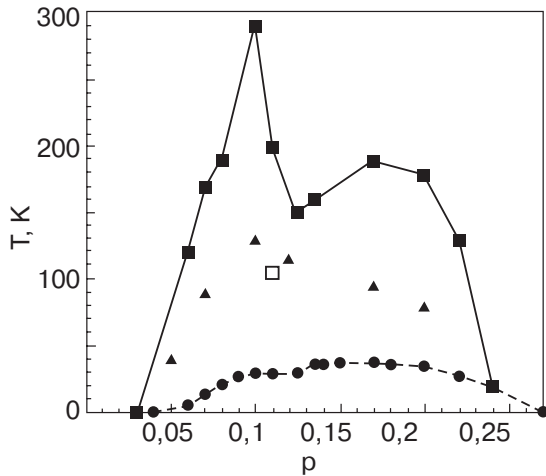


Рис. 2. Зависимости от концентрации дырок p при допировании монокристаллов $\text{La}_{2-x}\text{Sr}_x\text{CuO}_4$: температуры сверхпроводящего перехода $T_c(p)$ (●); максимальной температуры $T_s(p)$, при которой наблюдался гистерезис намагниченности в поле $\mathbf{H} \parallel ab$ (■), в поле $\mathbf{H} \parallel c$ (□) (рис. 4 из работы [40]). Результаты наблюдения эффекта Нернста в поле $\mathbf{H} \parallel c$ (▲) [39].

2. Вибронные переходы между дважды вырожденным и невырожденным состояниями ионов меди при $T \leq T^*(p)$

Правила отбора для вибронных переходов в молекулах обсуждались в обзорах [32, 41, 42]. Исходя из предположения, что в CuO_2 -плоскости число дырок равно числу хаотически расположенных Cu^{3+} , автор работы [43] для дырки немагнитного примесного иона $\text{Cu}^{3+}(U)$, расположенного в центре магнитного кластера (рис. 3) в U -страйпе с четырьмя ионными комплексами $\text{Cu}_\downarrow^{2+}\text{O}_4^{2-}$ (или $\text{Cu}_\uparrow^{2+}\text{O}_4^{2-}$), обобщил модель локальных замкнутых токов Вармы [25, 26]. Энергия ε_E^U дважды вырожденного E -состояния иона $\text{Cu}^{2+}(U)$ в U -страйпах с неискаженной низкотемпературной орторомбической структурой (близкой к октаэдральной) меньше, чем энергия ε_A^U невырожденного A -состояния иона $\text{Cu}^{3+}(U)$ [31]:

$$\varepsilon_A^U - \varepsilon_E^U = \Delta_U, \quad \Delta_U > 0. \quad (1)$$

Предположим, что локализованная d -дырка немагнитного иона $\text{Cu}^{3+}(\downarrow, U)$ взаимодействует только с электрон-колебательными (вибронными) ян-теллеровскими модами Q_k четырех ближайших ионов кислорода, общих с соседними магнитными комплексами $\text{Cu}_\uparrow^{2+}\text{O}_4^{2-}$ (или $\text{Cu}_\downarrow^{2+}\text{O}_4^{2-}$ для «примесного» немагнитного иона $\text{Cu}^{3+}(\uparrow, U)$). Стрелка в скобках (\downarrow) указывает, что ион $\text{Cu}^{3+}(\downarrow, U)$ (x_0, y_0)

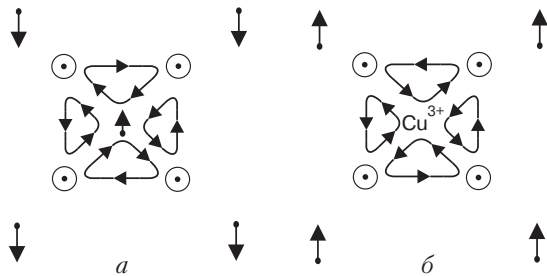


Рис. 3. (а) Кластер U -страйпа в медь-кислородной плоскости, образованный четырьмя ионами $\text{Cu}_\downarrow^{2+}$ с магнитным комплексом $\text{Cu}_\uparrow^{2+}\text{O}_4^{2-}$ в центре, с четырьмя локальными замкнутыми токами Вармы в квадрантах комплекса. Кружки с точкой — ионы кислорода, стрелка \uparrow — направление спина иона меди Cu_\uparrow^{2+} в центре. (б) Магнитный кластер U -страйпа в медь-кислородной плоскости с немагнитным комплексом $\text{Cu}^{3+}(\downarrow, U)\text{O}_4^{2-}$ в центре с четырьмя квантованными вихревыми возбуждениями v_i и движением дырки против часовой стрелки.

занимает место иона $\text{Cu}_\downarrow^{2+}(x_0, y_0)$ из магнитной подрешетки ионов меди со спином вниз. Вибронные взаимодействия в U -страйпах приводят к переходу локализованной d -дырки в квазилокальное состояние с локальными замкнутыми токами в квадрантах немагнитной «молекулы» $\text{Cu}^{3+}(\downarrow, U)\text{O}_4^{2-}$, направленными таким образом, чтобы выполнялось условие (1) перехода из невырожденного состояния иона меди в дважды вырожденное. Например, при переходе немагнитной молекулы $\text{Cu}^{3+}(\downarrow, U)\text{O}_4^{2-}$ в магнитный комплекс $\text{Cu}_\downarrow^{2+}(U)\text{O}_4^{2-}$ локальные замкнутые токи в квадрантах комплекса должны компенсировать магнитный момент иона $\text{Cu}_\downarrow^{2+}(U)$.

Рассмотрим теперь вибронные переходы в D -страйпах с искаженной LTT структурой, в которых $\varepsilon_E^D > \varepsilon_A^D$ и энергия возбуждения Δ_D необходима для $A \rightarrow E$ перехода синглет—дублет, а обратный $E \rightarrow A$ переход происходит с выделением энергии Δ_D :

$$\varepsilon_E^D - \varepsilon_A^D = \Delta_D, \quad \Delta_D > 0. \quad (2)$$

Из (2) видно, что в D -страйпах, в отличие от U -страйпов, $E \rightarrow A$ переход двухвалентных ионов меди в трехвалентное состояние происходит с выделением энергии $\Delta_D > 0$ и, наоборот, энергия возбуждения Δ_D необходима для $A \rightarrow E$ перехода трехвалентных ионов меди в дважды вырожденное состояние:

$$\text{Cu}_D^{3+}(\uparrow) + \Delta_D \Leftrightarrow \text{Cu}_D^{2+}. \quad (3)$$

Таким образом, в псевдощелевом и сверхпроводящем состояниях узкие неметаллические D -страйпы медь-кислородных плоскостей содержат ионы

Cu^{3+} , что для псевдощелевого состояния согласуется с результатами работы [44], а при $T < T_c$ — с оптическими наблюдениями [33,34].

3. О проблеме Абрикосова для локализованной дырки иона меди в CuO_2 -плоскости

Существует определенная аналогия между воздействием магнитного поля на свойства сверхпроводников второго рода и воздействием допирования на свойства АФМ оксидов меди. Учет воздействия магнитного поля спинов четырех ближайших двухвалентных ионов меди на локализованную дырку иона меди в медь-кислородной плоскости напоминает проблему Абрикосова — Гофстадтера [35–37] в сверхпроводниках второго рода для локализованного носителя заряда в магнитном поле. При этом локализованная дырка дважды вырожденного состояния иона $\text{Cu}_{\uparrow}^{2+}$ (или $\text{Cu}_{\downarrow}^{2+}$) в результате ян-тлеровского взаимодействия с колебательными модами ближайших ионов кислорода переходит в коллективизированное комплексом $\text{Cu}_{\uparrow}^{2+}\text{O}_4^{2-}$ (или $\text{Cu}_{\downarrow}^{2+}\text{O}_4^{2-}$) вибронное состояние со «смешанной» симметрией $d_{x^2-y^2} \pm i(p_x \pm p_y)$ ($d_{x^2-y^2}$ — состояние «медной» дырки, p_x, p_y — состояния «кислородной» дырки). Воздействие локальных магнитных полей четырех соседних ионов $\text{Cu}_{\downarrow}^{2+}$ (или $\text{Cu}_{\uparrow}^{2+}$) приводит к появлению квантованных вихревых возбуждений v_i — к четырем локальным замкнутым токам (ЛЗ) Вармы в квадрантах медь-кислородного комплекса (рис. 3,а) [25]. Эти токи являются суперпозицией состояний дырки в двух вертикальных и двух горизонтальных квадрантах с противоположным направлением движения дырки в них. Для магнитного момента комплекса $\text{Cu}_{\uparrow}^{2+}\text{O}_4^{2-}$ можно записать

$$M_{\text{Cu}_{\uparrow}^{2+}\text{O}_4^{2-}} = m_{\text{Cu}_{\uparrow}^{2+}} + 2m_v + 2m_h, \quad (4)$$

где m_v и m_h — магнитные моменты ЛЗ токов Вармы в вертикальных и горизонтальных квадрантах. С точностью до отклонений формы комплекса $\text{Cu}_{\uparrow}^{2+}\text{O}_4^{2-}$ от квадратной $m_v \approx -m_h$ и $M_{\text{Cu}_{\uparrow}^{2+}\text{O}_4^{2-}} \approx m_{\text{Cu}_{\uparrow}^{2+}}$.

Перейдем к рассмотрению состояния локализованной d -дырки «примесного» иона $\text{Cu}^{3+}(\downarrow)(x_0, y_0)$ в центре магнитного кластера U -страйпа (рис. 3,б). Она находится под воздействием локальных магнитных полей четырех соседних ионов $\text{Cu}_{\uparrow}^{2+}$ и взаимодействует с вибронными ЯТ модами Q_k (частота которых Ω_{Q_k}) ближайших ионов кислорода, общих с соседними комплексами $\text{Cu}_{\uparrow}^{2+}\text{O}_4^{2-}$ и образующих вместе с ионом $\text{Cu}^{3+}(\downarrow)$ «молекулу» $\text{Cu}^{3+}(\downarrow)\text{O}_4^{2-}$. Если энергия ЯТ моды $\hbar\Omega_{Q_k}$ достаточна велика, то локализованная дырка «примесного» иона

$\text{Cu}^{3+}(\downarrow)(x_0, y_0)$ «молекулы» $\text{Cu}^{3+}(\downarrow)\text{O}_4^{2-}$ переходит в квазилокальное вибронное состояние на комплексе $\text{Cu}_{\downarrow}^{2+}(x_0, y_0)\text{O}_4^{2-}$ с четырьмя ЛЗ токами в квадрантах комплекса с совпадающими направлениями движения дырки в них (в отличие от ЛЗ токов Вармы для дырки комплекса $\text{Cu}_{\uparrow}^{2+}\text{O}_4^{2-}$ (рис. 3,а)). Например, движение против часовой стрелки в квадрантах комплекса $\text{Cu}_{\downarrow}^{2+}\text{O}_4^{2-}$ d -дырки иона $\text{Cu}^{3+}(\downarrow)$ в квазилокальном состоянии (а для локализованной дырки иона $\text{Cu}^{3+}(\uparrow)$ — движение по часовой стрелке в квадрантах комплекса $\text{Cu}_{\uparrow}^{2+}\text{O}_4^{2-}$).

Как видно на рис. 3,б, компенсация токов по линиям $\text{Cu}^{2+} - \text{O}^{2-}$ в двух соседних квадрантах «молекулы» приводит к тому, что ЛЗ токи в четырех квадрантах «молекулы» $\text{Cu}^{3+}\text{O}_4^{2-}$ образуют два круговых тока дырки с противоположными направлениями движения дырки в них. Один из них — вокруг иона меди комплекса, который свидетельствует о том, что ион $\text{Cu}^{3+}(\uparrow)$ перешел в магнитное состояние $\text{Cu}_{\uparrow}^{2+}$, соответствующее АФМ порядку в медь-кислородной плоскости. Второй круговой ток вокруг ионов кислорода комплекса свидетельствует о том, что локализованная дырка иона $\text{Cu}^{3+}(\uparrow)$ перешла в локализованное комплексом $\text{Cu}_{\uparrow}^{2+}\text{O}_4^{2-}$ вихреводобное $2D$ -состояние дырки со «смешанной» симметрией $d_{x^2-y^2} \pm i(p_x \pm p_y)$. Такой круговой ток можно назвать $2D$ вихреводобным возбуждением: вихрем v_{\downarrow} на комплексе $\text{Cu}_{\uparrow}^{2+}\text{O}_4^{2-}$ и антивихрем v_{\uparrow} на комплексе $\text{Cu}_{\downarrow}^{2+}\text{O}_4^{2-}$. Условие сохранения магнитного момента в «молекуле»

$$m_{\text{Cu}^{3+}} = m_{\text{Cu}_{\downarrow}^{2+}} + m_{v_{\uparrow}} = m_{\text{Cu}_{\uparrow}^{2+}} + m_{v_{\downarrow}} = 0 \quad (5)$$

определяет направление круговых токов, магнитный момент которых

$$m_{v_{\uparrow}} = -m_{\text{Cu}_{\downarrow}^{2+}}, \quad m_{v_{\downarrow}} = -m_{\text{Cu}_{\uparrow}^{2+}}$$

компенсирует спин двухвалентных ионов меди. Предположим, что энергия Ω_{Q_k} вибронных ЯТ мод ближайших ионов кислорода достаточно велика и сравнима с разностью энергий $\varepsilon_A^U - \varepsilon_E^U \approx E_{v_{\uparrow}} \approx E_{v_{\downarrow}} = \Delta_U$ невырожденного A -состояния иона $\text{Cu}^{3+}(\downarrow)(U)$ и дважды вырожденного E -состояния иона $\text{Cu}^{2+}(U)$ в U -страйпах:

$$E_{v_{\uparrow}} \approx E_{v_{\downarrow}} \approx \Delta_U = \Omega_{Q_k}. \quad (6)$$

Таким образом, при $T^*(p) > T$ в U -страйпах в магнитном кластере с четырьмя ближайшими ЯТ ионами $\text{Cu}^{2+}(U)$ (рис. 3,б) вибронные взаимодействия d -дырки «примесного» немагнитного иона Cu^{3+} приводят к переходу $A \rightarrow E'$ немагнитной «молекулы» $\text{Cu}^{3+}\text{O}_4^{2-}$ в немагнитный комплекс $E' = E + v$ с круговым замкнутым током на ком-

плексе $\text{Cu}_{\uparrow}^{2+}\text{O}_4^{2-} + v_{\downarrow}$ (или $\text{Cu}_{\downarrow}^{2+}\text{O}_4^{2-} + v_{\uparrow}$), компенсирующим магнитный момент двухвалентного иона меди. Такие круговые замкнутые токи в U -страйпах, закрепленные на медь-кислородных комплексах при $T^*(p) > T \geq T_f(p)$, можно рассматривать как вихреподобные возбуждения, запиннигованные магнитными комплексами $\text{Cu}_{\uparrow}^{2+}\text{O}_4^{2-}$ (или $\text{Cu}_{\downarrow}^{2+}\text{O}_4^{2-}$).

С понижением температуры энергия тепловых колебаний ионов кислорода уменьшается, и при $T = T_f(p)$ она уже меньше энергии $\hbar\Omega_{Q_k}$ вибронных ЯТ мод, так что запиннигованные вихреподобные возбуждения становятся подвижными. Перемещение вихрей приводит в каждой магнитной подрешетке U -страйпа к динамическому эффекту перехода магнитных комплексов $\text{Cu}_{\uparrow}^{2+}\text{O}_4^{2-}$ (или $\text{Cu}_{\downarrow}^{2+}\text{O}_4^{2-}$) в немагнитные $\text{Cu}_{\uparrow}^{2+}\text{O}_4^{2-} + v_{\downarrow}$ (или $\text{Cu}_{\downarrow}^{2+}\text{O}_4^{2-} + v_{\uparrow}$) и наоборот. Вихреподобные возбуждения дырки, например v_{\downarrow} , перемещаются в U -страйпах по кислородным позициям* к магнитным комплексам $\text{Cu}_{\uparrow}^{2+}\text{O}_4^{2-}$ той магнитной подрешетки, место в которой занимал немагнитный «примесный» ион $\text{Cu}^{3+}(\uparrow)$. Это создает в каждой магнитной подрешетке U -страйпа динамический эффект переноса заряда с АФМ флуктуациями, что позволяет назвать $T_f(p)$ температурой перехода U -страйпов меди-кислородной плоскости в состояние двумерного вихревого металла с двумя подвижными вихревыми жидкостями, каждая из которых при $T \leq T_f(p)$ «протекает» по своей магнитной подрешетке. Таким образом, процесс переноса заряда в U -страйпах осуществляется вихревыми возбуждениями, топологически совместимыми с антиферромагнетизмом.

Такой подход позволяет установить связь между АФМ и d -волновым сверхпроводящим упорядочением в НД купратном ВТСП при $T \leq T_f(p)$. Эффективный гамильтониан для операторов рождения $c_{i\sigma}^+$ и уничтожения $c_{i\sigma}^-$ вихреподобного возбуждения на i -м медь-кислородном комплексе со спином σ в U -страйпе имеет вид

$$H = \sum_{i,j,\sigma} t_{ij} e^{i\Phi_{ij}} c_{i\sigma}^+ c_{j\sigma}^- + \sum_{i,j} (\Delta_{ij} c_{i\uparrow}^+ c_{j\downarrow}^+ + \Delta_{ij}^* c_{j\downarrow}^- c_{i\uparrow}^-). \quad (7)$$

При $T = T_f(p)$ число вихреподобных возбуждений v_{\uparrow} и v_{\downarrow} в U -страйпах CuO_2 -плоскости

$$n_{\uparrow} + n_{\downarrow} = \sum_i (c_{i\uparrow}^+ c_{i\uparrow}^- + c_{i\downarrow}^+ c_{i\downarrow}^-)$$

равно числу ионов меди Cu^{3+}

$$\begin{aligned} N_{\text{Cu}^{3+}(\uparrow)} &= \sum_s N_{U_s, \text{Cu}^{3+}(\uparrow)} = n_{\downarrow}, \\ N_{\text{Cu}^{3+}(\downarrow)} &= \sum_s N_{U_s, \text{Cu}^{3+}(\downarrow)} = n_{\uparrow}, \end{aligned} \quad (8)$$

где суммирование проводится по числу s U -страйпов в CuO_2 -плоскости, n_{\uparrow} — число вихреподобных возбуждений v_{\uparrow} , n_{\downarrow} — число v_{\downarrow} . В гамильтониане (7) t_{ij} — интеграл перехода вихреподобного возбуждения v_{\downarrow} от немагнитного i -комплекса $\text{Cu}_{\uparrow}^{2+}\text{O}_4^{2-} + v_{\downarrow}$ на ближайший магнитный j -комплекс $\text{Cu}_{\uparrow}^{2+}\text{O}_4^{2-}$ с ионом меди из той же магнитной подрешетки, Δ_{ij} — параметр порядка БКТ спаривания вихрь—антивихрь на двух ближайших комплексах $\text{Cu}_{\uparrow}^{2+}\text{O}_4^{2-} + v_{\downarrow}$ и $\text{Cu}_{\downarrow}^{2+}\text{O}_4^{2-} + v_{\downarrow}$ с общим ионом кислорода,

$$\Phi_{ij} = \frac{2e\pi}{hc} \int_{r_j}^{r_i} \mathbf{A}(\mathbf{r}) d\mathbf{r}$$

— фазовый коэффициент Пайерлса, $\mathbf{A}(\mathbf{r})$ — вектор-потенциал магнитного поля, созданного четырьмя ближайшими двухвалентными ионами меди (например, $\text{Cu}_{\downarrow}^{2+}$) в точке \mathbf{r} магнитного кластера с немагнитным комплексом (например, $\text{Cu}_{\uparrow}^{2+}\text{O}_4^{2-} + v_{\downarrow}$).

При понижении температуры $T \leq T_f(p)$ в медь-кислородной плоскости происходит АФМ упорядочение спинов двухвалентных ионов меди в U -страйпах с образованием (благодаря подвижным вихрям $v_{\downarrow}, v_{\uparrow}$) локальных пар вихрь—антивихрь на двух ближайших комплексах из разных подрешеток $\text{Cu}_{\uparrow}^{2+}\text{O}_4^{2-} + v_{\downarrow}$ и $\text{Cu}_{\downarrow}^{2+}\text{O}_4^{2-} + v_{\uparrow}$ с общим ионом кислорода (рис. 4), так что число вихреподобных возбуждений уменьшается. Гамильтониан (7) может быть диагонализован посредством самосогласованного решения уравнения Боголюбова—де Жена. Численное решение подобного уравнения с $\mathbf{A}(\mathbf{r}) = 0$ для носителей заряда в медь-кислородной плоскости, проведенное в работе [45], показало, что вокруг немагнитной примеси Zn^{2+} должна наблюдаться модуляция волны спиновой плотности (с периодом $8a_0$) и модуляция волны зарядовой плотности (с периодом $2a_0$, где a_0 — постоянная решетки).

* «Смешанная» симметрия $d_{x^2-y^2} \pm i(p_x \pm p_y)$ дырки, образующей круговой ток на магнитных комплексах, допускает такие перемещения.

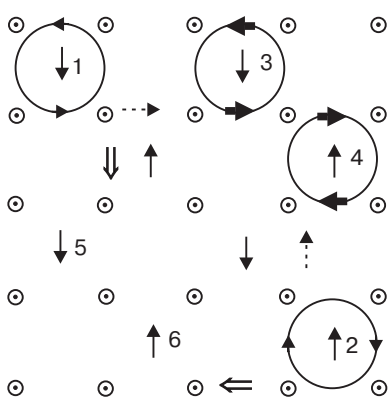


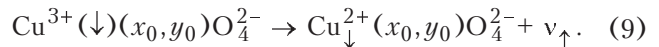
Рис. 4. *U*-страйп в медь-кислородной плоскости с двумя немагнитными комплексами из разных магнитных подрешеток $\text{Cu}_{\downarrow}^{2+}(x_1, y_1)\text{O}_4^{2-} + v_{\uparrow}$ и $\text{Cu}_{\uparrow}^{2+}(x_2, y_2)\text{O}_4^{2-} + v_{\downarrow}$ с вихревыми возбуждениями, обозначенными цифрами 1 и 2, ионы кислорода — кружками с точкой. Пунктирными стрелками указаны переходы подвижных вихрей при $T \leq T_f(p)$ от немагнитных комплексов к магнитным из той же подрешетки: антивихрь $v_{\uparrow}(1)$ на магнитный комплекс 3 и вихрь $v_{\downarrow}(2)$ на магнитный комплекс 4 с образованием локальной пары вихрь—антивихрь (жирные стрелки). Двойные стрелки указывают на возможные переходы вихрей $v_{\uparrow}(1)$ и $v_{\downarrow}(2)$ на магнитные комплексы 5 и 6.

4. Псевдощелевое состояние как квазидвумерная страйповая структура с переходом *U*-страйпов в состояние вихревого металла при $T \leq T_f(p)$

«Смешанная» симметрия $2D$ вихревоподобного состояния дырки $d_{x^2-y^2} \pm i(p_x \pm p_y)$ свидетельствует о том, что переход локализованной дырки иона Cu^{3+} в квазилокальное состояние на медь-кислородном комплексе нельзя считать ионизацией иона Cu^{3+} . Заряд $2D$ вихревого возбуждения равен нулю, магнитный момент равен $hc/2e$, и его можно было бы назвать аналогом спинона Лафлина, расчеты дисперсии для которого хорошо согласуются с результатами ARPES измерений [18]. Такие элементарные возбуждения с малым затуханием, пропорциональным отношению числа ионов Cu^{3+} к общему числу ионов меди $N_{\text{Cu}^{3+}}/N_U$ в *U*-страйпах CuO_2 -плоскости ($N_U = N_{\text{Cu}^{3+}} + N_{\text{Cu}^{2+}} + N_{\text{Cu}^{2+}\downarrow}$),

при $T \leq T_f(p)$ могут перемещаться в *U*-страйпах по магнитной подрешетке того иона $\text{Cu}_{\uparrow}^{2+}$ (или $\text{Cu}_{\downarrow}^{2+}$), место которого занимал ион Cu^{3+} . Рассмотрим, например, перемещение вихря v_{\uparrow} от немагнитной молекулы $\text{Cu}^{3+}(\downarrow)(x_0, y_0)\text{O}_4^{2-}$ к магнитному комплексу

$\text{Cu}_{\downarrow}^{2+}(x, y)\text{O}_4^{2-}$. Сначала происходит $A \rightarrow E'$ ($E' = E + v$) переход немагнитной молекулы в магнитный комплекс с вихревым возбуждением



Перемещение вихря v_{\uparrow} от немагнитной молекулы $\text{Cu}^{3+}(\downarrow)(x_0, y_0)\text{O}_4^{2-}$ по кислородным позициям к магнитному комплексу $\text{Cu}_{\downarrow}^{2+}(x, y)\text{O}_4^{2-}$ сопровождается восстановлением АФМ порядка в точке x_0, y_0 и нарушением АФМ порядка в точке x, y при переходе $E \rightarrow E'$ магнитного комплекса $\text{Cu}_{\downarrow}^{2+}(x, y)\text{O}_4^{2-}$ в немагнитное ($\text{Cu}_{\downarrow}^{2+}(x, y)\text{O}_4^{2-} + v_{\uparrow}$) состояние.

Это позволяет рассматривать псевдощелевое состояние при $T \leq T_f(p)$ как страйповое состояние медь-кислородной плоскости с узкими непроводящими *D*-страйпами, в которых энергетически выгодным является невырожденное состояние ионов Cu^{3+} , и с металлическими *U*-страйпами с двумя типами нефермиевских носителей заряда — подвижными вихревоподобными двумерными возбуждениями v_{\downarrow} и v_{\uparrow} , перемещение которых приводит к флуктуациям АФМ порядка в *U*-страйпах. Состояние *U*-страйпов при $T \leq T_f(p)$ можно назвать вихревым квази- $2D$ металлом с нефермиевскими носителями заряда двух типов, каждый из которых движется по своей магнитной подрешетке, и с локальными парами вихрь—антивихрь на двух ближайших магнитных комплексах $\text{Cu}_{\downarrow}^{2+}(x, y)\text{O}_4^{2-}$ и $\text{Cu}_{\uparrow}^{2+}(x', y')\text{O}_4^{2-}$ с общим ионом кислорода, а при понижении температуры $T_{2D} \leq T \leq T_{3D}$ — с $2D$ сверхпроводящими флуктуациями.

На рис. 4 показаны два перехода вихря и антивихря из разных магнитных подрешеток *U*-страйпа: а) из медь-кислородного комплекса (обозначенного цифрой 1) с вихревым возбуждением $\text{Cu}_{\downarrow}^{2+}(x_1, y_1)\text{O}_4^{2-} + v_{\uparrow}(1)$; б) из комплекса 2, $\text{Cu}_{\uparrow}^{2+}(x_2, y_2)\text{O}_4^{2-} + v_{\downarrow}(2)$. Как видно на рисунке, вихрь $v_{\uparrow}(1)$ может по кислородным позициям перейти на ближайшие комплексы 3 или 5 из этой же подрешетки, а вихрь $v_{\downarrow}(2)$ из комплекса 2 может перейти на ближайшие комплексы 4 или 6 своей подрешетки. На рис. 4 показаны переходы вихря $v_{\uparrow}(1)$ на комплекс 3 и вихря $v_{\downarrow}(2)$ на комплекс 4. В результате этих переходов вихрь и антивихрь оказываются расположеными на двух соседних комплексах 3–4 из разных магнитных подрешеток (с общим ионом кислорода) и образуют локальную пару вихрь—антивихрь. Видно, что такая же локальная пара могла бы образоваться и на комплексах 5–6. При понижении температуры $T \leq T_{2D}$ такие

локальные пары вихрь – антивихрь, расположенные на соседних медь-кислородных комплексах с общим ионом кислорода и с ионами меди из разных магнитных подрешеток, приводят к появлению локальных БКТ сверхпроводящих флюктуаций в медь-кислородной плоскости. Эти БКТ сверхпроводящие флюктуации существенно перенормируют вероятность туннелирования заряда вдоль оси c [9], так что размерный кроссовер к 3D сверхпроводящим флюктуациям происходит при $T_{3D} > T_{BKT}$, и $T_{BKT} \sim 0,7 T_c$ (рис. 1). Таким образом, сверхпроводящий переход в образце происходит по сценарию Каца [9, 10] как квазидвумерный с ограниченной областью трехмерных сверхпроводящих флюктуаций.

5. Обсуждение свидетельств существования двух типов вихреподобных носителей заряда

Прежде всего обсудим теоретические и экспериментальные свидетельства существования двух типов вихреподобных носителей заряда в псевдощелевом состоянии НД купратных ВТСП. Наиболее убедительными из них представляются теоретические и экспериментальные наблюдения $d+ip$ смешанной симметрии делокализованной дырки в псевдощелевом состоянии [24]. Смешанная симметрия подтверждает принадлежность вихреподобного носителя заряда медь-кислородному комплексу $\text{Cu}_{\uparrow}^{2+}\text{O}_4^{2-}$ или $\text{Cu}_{\downarrow}^{2+}\text{O}_4^{2-}$, что свидетельствует о двух типах нефермиевых носителей заряда в псевдощелевом состоянии. Как показано В.М. Локтевым [29], в допированном АФ закон сохранения спина не позволяет носителю заряда покинуть свою магнитную подрешетку.

К одним из первых экспериментальных свидетельств существования двух типов носителей заряда в НД купратных ВТСП можно отнести результаты, полученные в работах [38, 39] при изучении диффузии вихреподобных возбуждений под воздействием теплового градиента ∇T и магнитного поля в НД кристаллах $\text{La}_{2-x}\text{Sr}_x\text{CuO}_4$ и $\text{Bi}_{2-x}\text{Sr}_{2-x}\text{La}_x\text{CuO}_{6+\delta}$ (см. также работы [40, 46]). Известно, что в сверхпроводниках второго рода в магнитных полях, превышающих критическое значение, вихревая жидкость находится в мобильном состоянии и при наличии слабого теплового градиента движется со скоростью \mathbf{v} к охлаждаемому краю образца. Эффект Джозефсона приводит к возбуждению электрического поля $\mathbf{E} = \mathbf{B} \times \mathbf{v}$, где $\mathbf{B} = \mu_0 \mathbf{H}$. В присутствии теплового градиента и магнитного поля появление поперечного электрического поля называют эффектом Нернста, используемым для детектирования вихревых возбуждений в сверхпроводнике второго рода. Сведения о наблюдении эффекта Нернста в флюктуационном состоянии низкотемпе-

ратурных сверхпроводников не публиковались, и первые сообщения о таких наблюдениях при температурах выше T_c появились для НД купратных ВТСП [38, 39] (см. также ссылки в работе [40]). Высокое разрешение при измерениях поперечного электрического поля \mathbf{E} позволило в 1990–1996 гг. использовать эффект Нернста для регистрации вихревых возбуждений в оптимально допированных купратных ВТСП (см. ссылки [2–5] в работе [39]), однако температурный интервал их существования в флюктуационном состоянии был мал: $\Delta_{fl} \approx 0,1 T_c$. В НД $\text{La}_{2-x}\text{Sr}_x\text{CuO}_4$ [39] зафиксирован аномально большой флюктуационный интервал $\Delta_{fl} \approx 50–100$ К и было высказано предположение о существовании в псевдощелевом состоянии вихреподобных возбуждений, которые плавно переходят в вихри Абрикосова при понижении температуры ниже T_c .

В работе [39] проведен анализ воздействия теплового градиента на ток зарядов. При выборе градиента $-\nabla T \parallel \hat{\mathbf{x}}$ и магнитного поля $\mathbf{H} \parallel \hat{\mathbf{z}}$ Нернст-сигнал наблюдается как электрическое поле $\mathbf{E} \parallel \hat{\mathbf{y}}$. В нулевом магнитном поле воздействие теплового градиента приводит к току с плотностью $\mathbf{J} = \alpha(-\nabla T)$, где для тензора проводимости тока Пельтье α_{ij} можно считать $\alpha_{ij} = \alpha$. С учетом граничного условия

$$J_{x=a} = 0 \quad (10)$$

следует предположить существование неравного нулю электрического поля \mathbf{E} , создающего ток $\sigma E_x = -\alpha(-\partial_x T)$ в направлении, противоположном току $J_x = \alpha(-\partial_x T)$ (здесь σ – коэффициент электропроводности). Таким образом, равенство нулю полного тока вдоль оси $\hat{\mathbf{x}}$ приводит к существованию электрического поля

$$E_x = -(\alpha/\sigma)(-\partial_x T), \quad (11)$$

которое и есть измеряемый в эксперименте [39] сигнал в магнитном поле $H = 0$.

В псевдощелевом состоянии в отсутствие магнитного поля носителями заряда в U -стрейпах медь-кислородной плоскости НД купратных ВТСП могут быть рассмотренные выше вихри и антивихри – квазилокальные состояния дырки иона Cu^{3+} , которые с малым затуханием перемещаются в U -стрейпах по комплексам $\text{Cu}_{\uparrow}^{2+}\text{O}_4^{2-}$ (или $\text{Cu}_{\downarrow}^{2+}\text{O}_4^{2-}$), что обуславливает динамический эффект переноса заряда с переходами ионов меди $A \rightarrow E'$, $E' \rightarrow E$ и $E \rightarrow E'$. Электрическое поле $\mathbf{E}_{v\downarrow} \parallel \mathbf{h} \times \nabla T$, создаваемое движущимся под воздействием теплового градиента антивихрем v_{\downarrow} , и поле $\mathbf{E}_{v\uparrow} \parallel (-\mathbf{h}) \times \nabla T$ движущегося вихря v_{\uparrow} равны по величине и противоположны по направлению. Здесь \mathbf{h} – локальное магнитное поле, создаваемое антивихрем, $-\mathbf{h}$ – локальное магнитное поле, создаваемое вихрем.

Неравное нулю электрическое поле \mathbf{E} (11), создающее ток $\sigma E_x = -\alpha(-\partial_x T)$ в направлении, противоположном току вихрей, — это электрическое поле, обусловленное движущимися антивихрями. В меди-кислородной плоскости электрические поля, вызванные движущимися под воздействием теплового градиента ∇T вихрями (или антивихрями), компенсируются неравными нулю электрическими полями антивихрей (или вихрей), создающими ток в противоположном направлении. Таким образом, наблюдение сигнала E_x , измеряемого в работе [39] при воздействии теплового градиента в отсутствие магнитного поля, возможно только в образце с двумя типами носителей заряда, какими в псевдощелевом состоянии НД купратного ВТСП могут быть при $T \leq T_f(p)$ подвижные двумерные вихри и антивихри.

При одновременном воздействии магнитного поля, перпендикулярного меди-кислородным плоскостям, и теплового градиента, как показано в работе [39], во флуктуационной области при $T_c < T < T_v$ в псевдощелевом состоянии наблюдается Нернста-сигнал, который связан с вихреводобными возбуждениями. Являются ли наблюдаемые в магнитном поле вихреводобные возбуждения вихрями Абрикосова или это вихреводобные «дефекты» псевдощелевого состояния? У авторов работы [39] сомнения в аналогии между наблюдаемыми ими в магнитном поле вихреводобными возбуждениями и вихрями Абрикосова были связаны с отсутствием в то время наблюдений большого интервала сверхпроводящих флуктуаций в диамагнитном отклике и в сопротивлении для НД купратного ВТСП. В действительности же такой интервал существует (см., например, ссылки в [7,9]), но в отличие от обычных сверхпроводников он связан с сильными двумерными сверхпроводящими флуктуациями, о проявлении которых в НД купратных ВТСП говорилось во введении. Можно высказать предположение, что наблюдаемые в работе [39] вихреводобные возбуждения имеют ту же природу, что и вихри Абрикосова, но они двумерные (*pancakes*), их существование при $T_{2D} \leq T \leq T_{3D}$ связано с проникновением магнитного поля в область квазидвумерных сверхпроводящих флуктуаций [3–5,9]. При понижении температуры $T < T_{3D}$ двумерные вихри в магнитном поле плавно переходят в вихри Абрикосова (здесь T_{3D} — температура перехода к трехмерным сверхпроводящим флуктуациям).

В то же время в отсутствие магнитного поля было бы интересно провести исследование температурной зависимости сигнала $E_x(T)$, измеряемого в работе [39], в флуктуационной области при понижении температуры. Локальное спаривание двумерных вихрей и антивихрей приводит к уменьшению числа

вихреводобных возбуждений, т.е. к уменьшению вихревого тока \mathbf{J} при понижении температуры и, соответственно, к уменьшению величины измеряемого сигнала $E_x(T)$. Это позволило бы определить температурный интервал, в котором сверхпроводящие флуктуации можно считать двумерными, и температуру перехода T_{3D} к трехмерным сверхпроводящим флуктуациям. Знание величины температуры T_{3D} при измерениях в магнитном поле позволит проверить предположение о двумерности вихреводобных возбуждений, наблюдавшихся в работе [39] при $T_{2D} < T < T_{3D}$: в НД квазидвумерных купратных ВТСП, как и в оптимально дopedированных купратных ВТСП, сигнал Нернста на трехмерных сверхпроводящих флуктуациях должен наблюдаться только в относительно малом температурном интервале $\Delta T \approx 0,1T_c$.

Интересное продолжение получили исследования псевдощелевого состояния при измерениях намагниченности в слабых магнитных полях $H \leq 8$ кГс на монокристаллах $\text{La}_{2-x}\text{Sr}_x\text{CuO}_4$ ($0,03 \leq x \leq 0,24$) [40], а также монокристаллах $\text{Bi}_{2}\text{Sr}_{2-x}\text{La}_x\text{CuO}_{6+\delta}$ [46] в сильных магнитных полях от $H = 28,5$ Тл до $H = 43$ Тл при измерениях скорости спин-решеточной релаксации ($1/T_1$) ядра ^{63}Cu . В работе [40] на монокристаллах $\text{La}_{2-x}\text{Sr}_x\text{CuO}_4$ при $T \leq 290$ К наблюдался температурный гистерезис намагниченности при $T < T_s$ в слабых магнитных полях $H \leq 8$ кГс как параллельных $\mathbf{H} \parallel ab$ меди-кислородной плоскости $T_s(\mathbf{H} \parallel ab) \leq 290$ К, так и в полях $\mathbf{H} \perp ab$. В последнем случае результаты измерений согласуются с результатами работы [39]: $T_s(\mathbf{H} \parallel ab) > T_s(\mathbf{H} \perp ab)$. Так, например, $T_s(\mathbf{H} \parallel ab) \approx 2T_s(\mathbf{H} \perp ab) \approx 200$ К при $x = 0,1$ (рис. 2). Несмотря на то что наблюдаемый в [40] гистерезис невелик, он воспроизводим и более чем на порядок превышает экспериментальные погрешности. Этот результат согласуется с данными сканирующей SQUID-микроскопии [47] для тонких пленок LSCO с $T_c = 18$ К, что позволило авторам работы [47] высказать предположение о существовании в псевдощелевом состоянии замкнутых внутренних токов и о «возможном присутствии» запинингованных вихрей при $T \gg T_c$. Последнее предположение согласуется с существованием (см. разд. 3) при $T^*(p) > T > T_f(p)$ вихреводобных 2D-состояний дырки со «смешанной» симметрией $d_{x^2-y^2} \pm i(p_x \pm p_y)$, которые образуют круговые токи, т.е. «газ» закрепленных на комплексах $\text{Cu}^{2+}\text{O}_4^{2-}$ вихрей v_\downarrow (или антивихрей v_\uparrow на комплексах $\text{Cu}^{2+}\text{O}_4^{2-}$). При $T^*(p) > T > T_f(p)$ это может привести к наблюдению эффекта Кондо — экранирования немагнитных комплексов с закрепленными вихрями $\text{Cu}^{2+}\text{O}_4^{2-} + v_\downarrow$ (или $\text{Cu}^{2+}\text{O}_4^{2-} + v_\uparrow$) при исследованиях ядерного магнитного резонанса, ана-

логичных проведенным в работе [48]*. Дальнейшее понижение температуры $T_{2D}(p) \leq T \leq T_f(p)$ приводит к переходу в состояние вихревого металла с нефермиевскими носителями заряда (подвижными двумерными вихрями и антивихрями). При $T < T_f(p)$, так же как и в сверхпроводящем состоянии [48], можно ожидать существенного уменьшения эффекта Кондо.

В работе [46] проведены измерения скорости спин-решеточной релаксации ($1/T_1$) ядра ^{63}Cu в монокристаллах $\text{Bi}_2\text{Sr}_{2-x}\text{La}_x\text{CuO}_{6+\delta}$. Специфика этого соединения состоит в том, что это почти идеальная двумерная система с одной медь-кислородной плоскостью, в которой сверхпроводимость при $x < 0,4$ (т.е. при концентрациях дырок $p > 0,16$) может быть подавлена магнитным полем. Установлено, что псевдощелевое состояние с нефермиевскими носителями заряда существует и для передодированных образцов с концентрацией дырок $p \leq 0,21$, в которых сверхпроводимость подавлена сильным магнитным полем. Для образца с подавленной магнитным полем сверхпроводимостью показано, что значительная часть ферми-поверхности ($\sim 1/3$) сохраняется и в псевдощелевом состоянии, а плотность состояний обращается в нуль только в сверхпроводящем состоянии с оптимальной $T_c = 32$ К ($p = 0,16$). Эти результаты, как и наблюдение различной энергетической шкалы динамического отклика антинодальных квазичастиц в псевдощелевом и сверхпроводящем состояниях [18,19], позволяют утверждать, что псевдощелевое состояние нельзя считать «предвестником» сверхпроводящего состояния, но оно, как и сверхпроводящее состояние, имеет существенно неоднородную структуру, которая изменяется с изменением размерности при понижении температуры.

Проведенный недавно в работах [49,50] сравнительный анализ спектров внутризонной оптической проводимости монокристаллов $\text{YBa}_2\text{Cu}_3\text{O}_y$ ($6,65 \geq y \geq 6,35$) и $\text{La}_{2-x}\text{Sr}_x\text{CuO}_4$ ($0,01 \leq x \leq 0,125$) с АФМ упорядочением и в сверхпроводящих кри-

сталлах показал, что во всех образцах наблюдаются общие закономерности, которые особенно четко проявляются в области низких температур. В сильно недодированных образцах низкотемпературный спектр состоит из двух полос поглощения: когерентной моды Друде, которая существенно сужается при понижении температуры, и средней инфракрасной полосы (mid IR), частота которой смещается с ростом допирования от ~ 5000 см $^{-1}$ (при $y = 6,28$) к более низким частотам ~ 1300 см $^{-1}$ (при $y = 6,75$). Микроскопическая природа mid IR полосы пока не установлена. Существенно, что мода Друде, которая является стандартной характеристикой транспорта в металлах, наблюдается и в АФМ упорядоченном слабо дипированном кристалле, а признаки локализации становятся заметными только в слабо дипированных АФ при $p \leq p_f$, где p_f — концентрация, при которой $T_f(p_f) = 0$. С учетом наблюдавшегося в [19] подавления антинодального отклика в направлении $(0,0) - (\pi,0)$ при переходе в РГ состояние и результатов фотоэмиссионной спектроскопии лантановых систем [51] о существовании при $T < T^*$ участков ферми-поверхности только вблизи нодальных точек (вдоль направления $(0,0) - (\pi, \pi)$), определение авторами работ [49,50] псевдощелевого состояния как «двуухкомпонентного нодального металла»** выглядит обоснованным***, хотя и оставляет вопрос о природе носителей заряда открытым.

Замечательные результаты, полученные в работах [49,50], противоречат обычному определению слабо дипированных купратов как «АФМ изоляторов» и согласуются с предположением авторов работы [52] о том, что при уменьшении концентрации дипирования переход от металлического поведения к поведению, присущему изолятору Мотта, состоит только в обращении в нуль числа подвижных носителей заряда. С учетом того, что в U-стратах при $T \leq T_f(p)$ подвижными носителями заряда становятся двумерные вихри и антивихри (рис. 1), определение этой области псевдощелевого состояния как двумерного «вихревого металла», введенное в 1987 г. Л.Б. Иоф-

* В этой работе измерения ядерного магнитного резонанса проводили на немагнитных примесях Zn^{2+} и было установлено, что на ионах меди вокруг примеси индуцируется сильный магнитный момент.

** Термин «нодальный металл» для состояний слабо дипированного АФ был введен в работе Y. Ando et al. (*Phys. Rev. Lett.* **87**, 017001 (2001)), см. также ссылки [1–7] в работе [50]. Во всем интервале дипирования (вплоть до оптимального) подвижность, скорость Ферми и эффективная оптическая масса нодальных квазичастиц не меняется.

*** Следует отметить, что на диаграмме для YBCO (рис. 4 в работе [50]) область существования нодального металла при слабом дипировании выглядит неубедительно и не согласуется при малых концентрациях ($y < 6,43$, $T = 293$ К и $y < 6,35$, $T = 20$ К) с результатами работы [30]. Границей нодального металла может быть линия, соединяющая эти две точки до пересечения с линией $T^*(p)$, т.е. линия $T_f(p)$ на рис. 1.

фе и А.И. Ларкиным (см. сноска на стр. 4), представляется более обоснованным. Область существования $2D$ вихревого металла в U -страйпах ограничена (см. рис. 1) слева линией $T_f(p)$ перехода при $T \geq T_f(p)$ от двумерного «газа» запиннингованных вихрей (и антивихрей) к двум подвижным вихревым $2D$ -«жидкостям», каждая из которых в U -страйпах движется по своей магнитной подрешетке, справа — зависимостью $T^*(p)$ и линией $T_{2D}(p)$ двумерных сверхпроводящих флюктуаций с образованием в U -страйпах пар вихрь—антивихрь, а при низких температурах $T \leq T_g(p)$ — переходом в трехмерное несверхпроводящее состояние кластерного спинового стекла.

6. Заключение

Проведенный в работе анализ существования в U -страйпах двух типов двумерных вихревоподобных возбуждений в PG состоянии НД купратных ВТСП приводит к модели переноса заряда, топологически совместимой с антиферромагнетизмом. В заключение можно высказать предположение о природе полосы mid IR, которая в оптических исследованиях НД купратных ВТСП уже давно вызывает интерес (см., например, результаты измерений оптической проводимости [53–55], убедительно свидетельствующие о существовании двух типов носителей заряда при $T < T^*(p)$). Вернемся к двум положениям, используемым в настоящей работе: 1) закон сохранения спина накладывает такие ограничения на движение носителя, которые не позволяют ему покинуть магнитную подрешетку, в которой он «родился» [29]; 2) при $T < T^*(p)$ допированные дырки в U -страйпах захватываются ионами Cu^{2+} , образуя плоские немагнитные «молекулы» $\text{Cu}^{3+}\text{O}_4^{2-}$ с невырожденным A -состоянием иона Cu^{3+} . С учетом того, что в тетрагональном окружении, т.е. в D -страйпах, минимальную энергию имеет ион Cu^{3+} в невырожденном A -состоянии (см. [31,32]), для $A \rightarrow E$ перехода Cu^{3+} необходима энергия возбуждения, и при воздействии света такие оптические переходы $A \rightarrow E$ в вырожденное состояние происходят с расщеплением зоны, величина которого определяется ян-тэллеровским взаимодействием [42]. В дополнение к нескольким сценариям mid IR полосы в работе [50] можно предположить, что в купратных НД АФ появление в спектре внутризонной оптической проводимости двух полос связано с расщеплением зоны при $A \rightarrow E$ переходах ионов Cu^{3+} в D -страйпах CuO_2 -плоскости. Сравнивая

в $\text{YBa}_2\text{Cu}_3\text{O}_y$ ($y = 6,28$) и $\text{La}_{2-x}\text{Sr}_x\text{CuO}_4$ ($x = 0,01$) соотношение максимумов моды Друде и полосы mid IR на рис. 10 в работе [50], $\Delta_{\text{YBCO}}/\Delta_{\text{LSCO}} \approx \approx 4000/6000 = 2/3$ при 10 К, можно оценить и отношение ян-тэллеровских взаимодействий в этих монокристаллах.

Таким образом, специфические особенности псевдощелевого состояния, область которого на фазовой диаграмме (T,p) ограничивают четыре зависимости $T^*(p)$, $T_c(p)$, $T_g(p)$ и $T_f(p)$ (рис. 1), при понижении температуры обусловлены:

1) большим температурным интервалом квазидвумерного поведения* со страйповой структурой, которая является следствием тенденции плоских «молекул» $\text{Cu}^{3+}\text{O}_4^{2-}$ к искашению меди-кислородной плоскости при $T < T^*(p)$;

2) появлением в U -страйпах в температурной области $\Delta T_{pv} \sim T^*(p) - T_f(p)$ двумерного газа «запиннингованных» вихрей и антивихрей при вибронных $A \rightarrow E + v$ переходах синглет—дублет из невырожденного состояния иона $\text{Cu}^{3+}(U)$ в дважды вырожденное $\text{Cu}^{2+}(U)$ или $\text{Cu}^{2+}(U)$ с вихревоподобными возбуждениями $v \uparrow$ или $v \downarrow$, закрепленными на меди-кислородных комплексах;

3) переходом U -страйпов CuO_2 -плоскости при $T_{2D}(p) \leq T \leq T_f(p)$ в состояние двумерного «вихревого металла» с нефермиевскими носителями заряда (подвижными двумерными вихрями и антивихрями), топологически совместимыми с антиферромагнетизмом;

4) большим интервалом $\Delta T_{2D}^{\text{fl}}(p) = T_{2D}(p) - T_{3D}(p)$ двумерных БКТ сверхпроводящих флюктуаций при спаривании вихрей и антивихрей, который значительно больше области трехмерных сверхпроводящих флюктуаций $\Delta T_{3D}^{\text{fl}}(p) = T_{3D}(p) - T_c(p)$;

5) тем, что при понижении температуры сверхпроводящий переход происходит по сценарию Каца [10] как квазидвумерный БКТ переход с ограниченным интервалом $3D$ сверхпроводящих флюктуаций.

Сверхпроводящее состояние НД купратного ВТСП имеет такую же существенно неоднородную структуру и размерность, как и псевдощелевое состояние, которое изменяется при понижении температуры: при $\Delta T_{3D}^{\text{ss}}(p) = T_c(p) - T_{\text{BKT}}(p)$ — это область трехмерного сверхпроводящего состояния: при $\Delta T_{2D}^{\text{ss}}(p) = T_{\text{BKT}}(p) - T_g(p)$ — область квазидвумерного сверхпроводящего состояния, переходящего в трехмерное состояние сверхпроводящего кластерного спинового стекла при низких температурах $T \leq T_g(p)$ (рис. 1).

* Например, для LSCO $\Delta T_{2D}(p) \sim 200$ К [39,40].

1. V.L. Berezinskii, *JETP* **61**, 1144 (1971).
2. J.M. Kosterlitz and D.J. Thouless, *J. Phys.* **C6**, 1181 (1973).
3. S. Martin, A.T. Fiory, R.M. Fleming, G.P. Espinoza, and A.S. Cooper, *Phys. Rev. Lett.* **62**, 677 (1989).
4. S.N. Artemenko et al., *Phys. Lett.* **A138**, 428 (1989).
5. G.G. Sergeeva, *Czech. J. Phys.*, **46**, Suppl. S. 3, 1667 (1996); Г.Г. Сергеева, *ФНТ* **18**, 797 (1992).
6. V.J. Emery and S.A. Kivelson, *Nature (London)* **374**, 434 (1995).
7. S.L. Cooper and K.E. Gray, in: *Physical Properties of High-Temperature Superconductors*, D.M. Ginzberg (ed.), IY (1994), p. 64.
8. Г.Г. Сергеева, А.А. Сорока, *ФНТ* **30**, 642 (2004).
9. Г.Г. Сергеева, В.Ю. Гончар, А.В. Войценя, *ФНТ* **27**, 634 (2001).
10. Е.И. Кац, *ЖЭТФ* **56**, 1675 (1965).
11. V. Gusynin, V.M. Loktev, and S.G. Sharapov, *ЖЭТФ* **115**, 1243 (1999).
12. V.M. Loktev, R.M. Quick, and S.G. Sharapov, *ФНТ* **26**, 567 (2001).
13. Г.Г. Сергеева, *ФНТ* **27**, 845 (2001).
14. V.F. Gantmakher, M.V. Golubov, V.T. Dolgopolov, G.E. Tsydynzharov, and A.A. Slashkin, *Письма ЖЭТФ* **68**, 337 (1998).
15. V.M. Galitski, G. Refael, M.P.A. Fisher, and T. Senthil, *Phys. Rev. Lett.* **98**, 077002 (2005).
16. P.L. Gammel, L.F. Schneemeyer, J.V. Waszczak, and D.J. Bishop, *Phys. Rev. Lett.* **61**, 1666 (1988).
17. Z. Tesanovic, *Phys. Rev. Lett.* **93**, 217004 (2004).
18. F. Damascelli, Z. Hussain, and Z.-X. Shen, *Rev. Mod. Phys.* **75**, 473 (2003).
19. Y. Gallais, A. Sacuto, T.P. Devereaux, and D. Colson, *Phys. Rev.* **B71**, 012506 (2005).
20. L. Tallon and J.W. Loram, *Physica* **C349**, 3 (2001).
21. C. Panagopoulos, T. Xiang, W. Anukool, J.R. Cooper, Y. Wang, and C.W. Chu, *Phys. Rev.* **B67**, 220502 (2003).
22. A.J. Arko, R.J. List, R.J. Bartlett et al., *Phys. Rev.* **B40**, 2268 (1989).
23. H. Romberg, M. Alexander, N. Nuker et al., *Phys. Rev.* **B42**, 8768 (1990).
24. Tai-Kai Ng and C.M. Varma, *Phys. Rev.* **B70**, 054514 (2004).
25. C.M. Varma, *Phys. Rev. Lett.* **83**, 3538 (1999).
26. M.E. Simon and C.M. Varma, *Phys. Rev. Lett.* **89**, 2470003 (2002).
27. Б.Б. Еременко, В.П. Новиков, *Письма ЖЭТФ* **11**, 478 (1970).
28. В.Г. Барьяхтар, В.М. Локтев, *УФЖ* **36**, 850 (1991).
29. В.М. Локтев, *ФНТ* **31**, 645 (2005).
30. A. Shengelaya, M. Bruun, B.I. Kochelaev, A. Safina, K. Conder, H. Keller, and K.A. Muller, *Phys. Rev. Lett.* **93**, 017001 (2004).
31. D.S. McClure, *Solid State Phys.* **9**, 399 (1959).
32. M.D. Sturge, *Solid State Phys.* **20**, 91 (1967).
33. D.N. Basov, C.C. Homes, E.J. Singlej et al., *Phys. Rev.* **B63**, 134514 (2001).
34. Б.В. Еременко, В.Н. Самоваров, В.Л. Вакула, М.Ю. Либин, С.А. Уютнов, В.М. Рашкован, *ФНТ* **27**, 1327 (2001).
35. А.А. Абрикосов, *ЖЭТФ* **32**, 1442 (1957).
36. А.А. Абрикосов, *Phys. Rev.* **B64**, 104521 (2001).
37. D.R. Hofstadter, *Phys. Rev.* **B14**, 2239 (1976).
38. Z.A. Xu, N.P. Ong, Y. Wang, T. Kakeshita, and S. Uchida, *Nature (London)* **406**, 486 (2000).
39. Y. Wang, Z.A. Xu, T. Kakeshita, S. Uchida, S. Ono, Y. Ando, and N.P. Ong, *Phys. Rev.* **B64**, 224519 (2001).
40. C. Panagopoulos, M. Majoros, and A.P. Petrovic, *Phys. Rev.* **B69**, 144508 (2004).
41. H. Sporer and E. Teller, *Rev. Mod. Phys.* **13**, 75 (1941).
42. H.C. Longuet-Higgins, U. Opik, M.H. Pryce, and H. Sack, *Proc. Roy. Soc. A* **244**, 1 (1958).
43. Г.Г. Сергеева, *ФНТ* **31**, 1371 (2005).
44. A. Bianconi, N.L. Saini, A.M. Lanzara et al., *Phys. Rev. Lett.* **76**, 3412 (1996).
45. J.-X. Zhu, I. Martin, and A.R. Bishop, *Phys. Rev. Lett.* **89**, 067003 (2002).
46. G.-q. Zheng, P.L. Kuhns, A.P. Reyes, B. Liang, and C.T. Lin, *Phys. Rev. Lett.* **94**, 047006 (2005).
47. I. Iguchi, T. Yamaguchi, and S. Komoiya, *Nature (London)* **412**, 420 (2001).
48. J. Bobroff et al., *Phys. Rev. Lett.* **86**, 4116 (2001).
49. Y.S. Lee, K. Segava, Y. Ando, and D.N. Basov, *Phys. Rev. Lett.* **94**, 137004 (2005).
50. Y.S. Lee, K. Segava, Z.Q. Li, W.J. Padilla, M. Dumm, S.V. Doddevic, C.C. Homes, Y. Ando, and D.N. Basov, *Phys. Rev.* **B72**, 054529 (2005).
51. T. Yoshida, X.Y. Zhou, T. Sasagava, W.L. Yang, P.V. Bogdanov, A. Lanzara, Z. Hussain, T. Mikozawa, A. Fugimori, H. Eisaki, Z.-X. Shen, T. Kakeshita, and S. Uchida, *Phys. Rev. Lett.* **91**, 027001 (2003).
52. M. Imada, A. Fugimori, and Y. Tokura, *Rev. Mod. Phys.* **70**, 1039 (1998).
53. J. Orenstein, G.A. Thomas, A.J. Millis, S.L. Cooper, D. Rapkine, T. Timusk, L.F. Schneemeyer, and J.V. Waszczak, *Phys. Rev.* **B42**, 6342 (1990).
54. S. Uchida, T. Udo, H. Takagi, T. Arima, Y. Tokura, and S. Tajima, *Phys. Rev.* **B43**, 7942 (1991).
55. X.X. Bi and P.C. Eklund, *Phys. Rev. Lett.* **70**, 2625 (1993).

About two types of vortex-like excitations in the pseudogap state of underdoped cuprate HTS

G.G. Sergeeva

A two-component model of charge carriers topologically consistent with the antiferromagnetic nature of the doped CuO₂ planes is discussed for the pseudogap state of underdoped cuprate HTS at $T \leq T^*(\rho)$. The stripe structure of CuO₂ planes suggests that at doping the captured holes are localized by the Cu²⁺ ions that leads to

creation of nonmagnetic «molecules» $\text{Cu}^{3+}\text{O}_4^{2-}$ with a nondegenerate A -state of the Cu^{3+} ion. For U -stripes the $A \rightarrow E$ transitions of the Cu^{3+} ions into a degenerate E -state of the Cu^{2+} ions occur with the release of energy Δ_U , giving rise to two-dimensional vortices (or antivortices) «pinned» by complexes $\text{Cu}^{2+}\text{O}_4^{2-}$ (or $\text{Cu}^{2+}\text{O}_4^{2-}$). A decrease in temperature $T < T_f(p)$ causes the U -stripes to make transition to a two-dimensional vortex-metal state with nonfermion charge carriers (movable $2D$ vortices and antivortices) which are consistent with the antiferromagnetic order of the $\text{Cu}^{3+}\text{O}_4^{2-}$ plane. The development of $2D$ superconducting fluctuations at the vortex–antivortex pairing at $T \leq T_{2D}$ renormalizes the interplane tunneling constant, and the di-

mensional $2D \rightarrow 3D$ crossover occurs prior to the Berezinskij–Kosterlitz–Thouless transition T_{BKT} . On further temperature lowering, the superconducting transition occurs by the Kats scenario at $T_c > T_{BKT}$ with a limited interval of $3D$ superconducting fluctuations. It is shown that in zero magnetic field the effect of thermal gradient can lead to the observation of electric signals (Y. Wang et al., *Phys. Rev.* **B64**, 224519 (2001)) at $T_{2D} \leq T \leq T^*(p)$ only for the two-component model of charge carriers which are topologically consistent with the antiferromagnetic nature of doped CuO_2 planes.

Keywords: stripe structure, vortex state, superconducting fluctuations.